

3. 連続時間システムのフーリエ解析

3. 1 フーリエ変換による線形シフト不変システムの解析

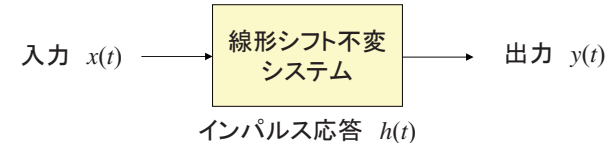
デジタル信号処理 (III)

物理情報システム専攻
山口雅浩

E-mail: yamaguchi.m.aa@m.titech.ac.jp

Web: <http://www-oid.ip.titech.ac.jp>

1



線形シフト不変システムの入出力関係

$$y(t) = S\{x(t)\} = \int_{-\infty}^{\infty} x(\tau)h(t-\tau)d\tau$$

→ 置込み積分 (convolution)

3

講義内容

3. 連続時間システムのフーリエ解析

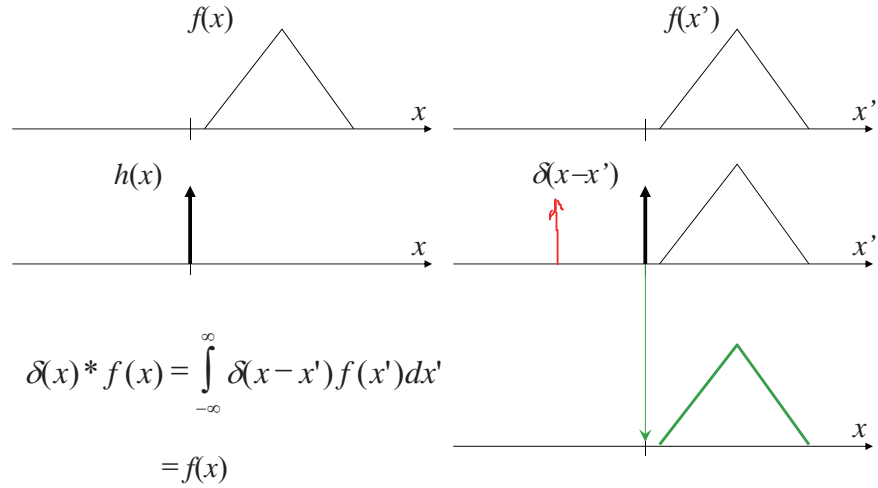
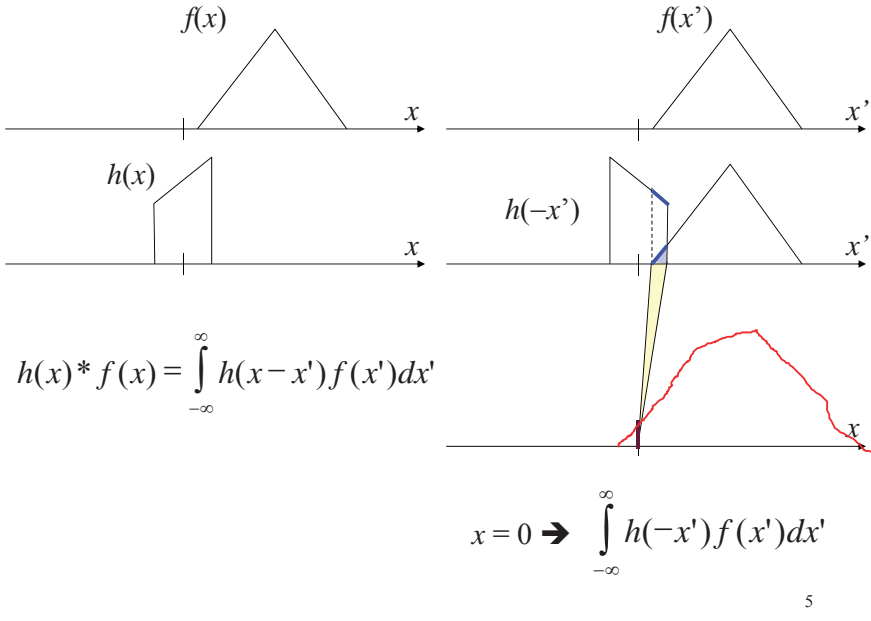
- フーリエ変換による線形シフト不変システムの解析
- インパルス応答と周波数特性

2

なぜ「たたみ込み」が重要か？

- 線形シフト不変システムの数学的記述
 - 回路・空間伝播などによる信号の劣化
 - レンズや空間的な光伝播、投影などによるイメージング系
- 2つの関数の積のフーリエ変換
 - 2つの関数のたたみ込みのフーリエ変換は積になる
- フィルタリング
 - 周波数フィルタリング (High-pass, Low-pass, Band-pass, ...)
 - 平滑化、鮮鋭化、エッジ強調、など
- 「相関演算」と類似
 - パターンマッチングなどへの応用

4



例: 2つの矩形パルス関数の畳み込み

$$x(t) = \frac{1}{a} p\left(\frac{t}{a}\right)$$

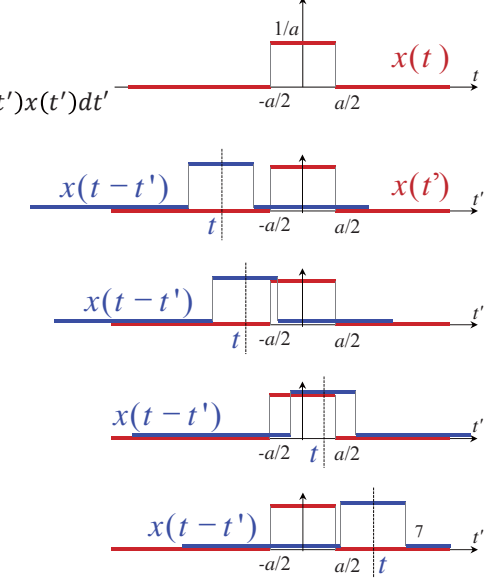
$$f(t) = a x(t) * x(t) = a \int_{-\infty}^{\infty} x(t-t')x(t')dt'$$

$t < -a$ のとき $f(t) = 0$

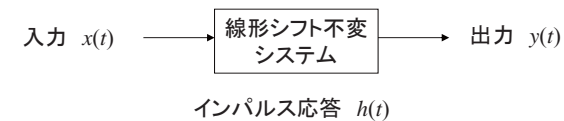
$-a \leq t < 0$ のとき $f(t) = 1 + t/a$

$0 \leq t < a$ のとき $f(t) = 1 - t/a$

$t \geq a$ のとき $f(t) = 0$



インパルス応答と周波数特性



- 線形シフト不变システム

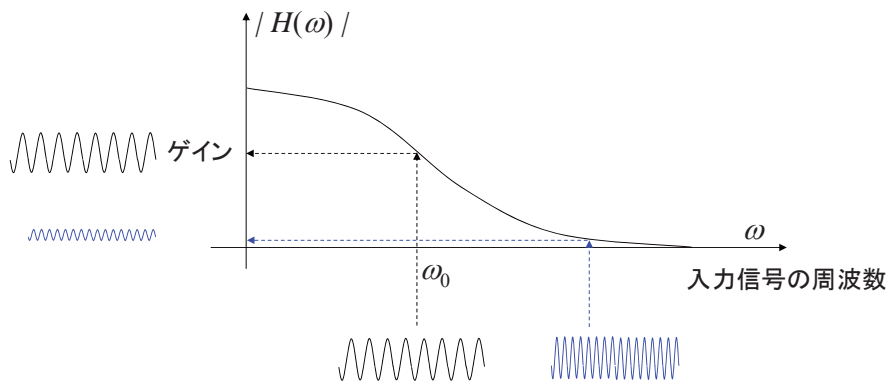
$$y(t) = S\{x(t)\} = \int_{-\infty}^{\infty} x(\tau)h(t-\tau)d\tau$$

- 両辺をフーリエ変換

$$\begin{aligned} Y(\omega) &= \mathcal{F}\left\{\int_{-\infty}^{\infty} x(\tau)h(t-\tau)d\tau\right\} = \mathcal{F}\{x(t)\}\mathcal{F}\{h(t)\} \\ &= H(\omega)X(\omega) \end{aligned}$$

$H(\omega)$: 周波数特性, システム関数, 伝達関数,
= インパルス応答のフーリエ変換

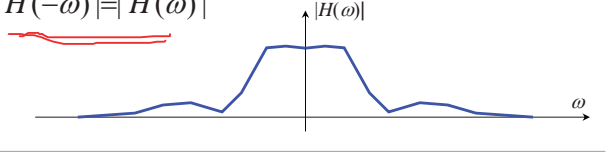
周波数特性



$$|Y(\omega)| = |H(\omega)| |X(\omega)| = A(\omega) |X(\omega)|$$

9

- インパルス応答 $h(t)$ が実数のとき、振幅特性は原点対称
(偶関数) : $|H(-\omega)| = |H(\omega)|$



- 上を証明せよ。

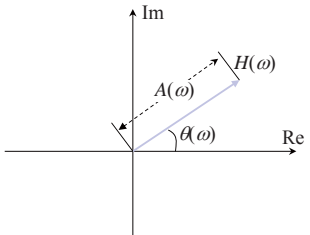
$$H(-\omega) = \int_{-\infty}^{\infty} h(t) e^{-j(-\omega)t} dt$$

11

周波数特性は複素数

$$\begin{aligned} H(\omega) &= \operatorname{Re}\{H(\omega)\} + j \operatorname{Im}\{H(\omega)\} \\ &= \underline{A(\omega)} e^{j\theta(\omega)} \end{aligned}$$

- 振幅特性 $A(\omega) = |H(\omega)|$
 $|Y(\omega)| = |H(\omega)| |X(\omega)| = A(\omega) |X(\omega)|$



- 位相特性 $\theta(\omega)$

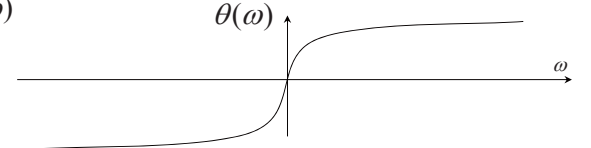
$$\begin{aligned} X(\omega) &= |X(\omega)| e^{-j\xi(\omega)} \\ Y(\omega) &= |Y(\omega)| e^{-j\eta(\omega)} \quad \text{とすると} \\ Y(\omega) &= H(\omega)X(\omega) = A(\omega) |X(\omega)| e^{-j\{\theta(\omega)+\xi(\omega)\}} \end{aligned}$$

$$\underline{\eta(\omega) = \xi(\omega) + \theta(\omega)}$$

10

- インパルス応答 $h(t)$ が実数のとき、位相特性は奇関数

$$\theta(-\omega) = -\theta(\omega)$$

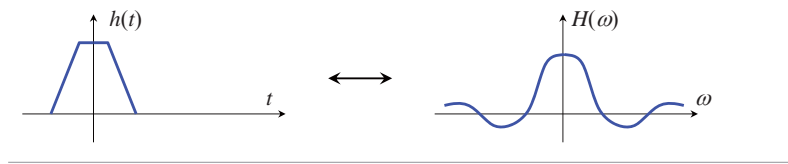


- 上を証明せよ。

$$H(-\omega) = A(-\omega) e^{j\theta(-\omega)}$$

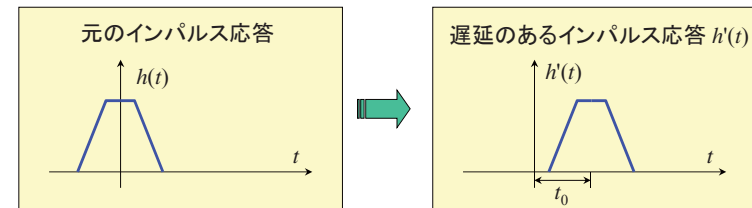
$$H^*(\omega) = A(\omega) e^{-j\theta(\omega)}$$

- インパルス応答が実数で対称(偶関数)なとき: $h(t) = h(-t)$
周波数特性は実数で対称



- 上を確かめよ

- インパルス応答に遅延があるとき



$$h'(t) = h(t-t_0)$$

$$\begin{aligned} H'(\omega) &= \mathcal{F}\{h'(t)\} \\ &= \mathcal{F}\{h(t-t_0)\} \\ &= \mathcal{F}\{h(t)\} e^{-j\omega t_0} = H(\omega) e^{-j\omega t_0} \end{aligned}$$

$H(\omega)$ に対して ωt_0 なる位相特性を付加したもの

ω に比例する位相特性:直線位相

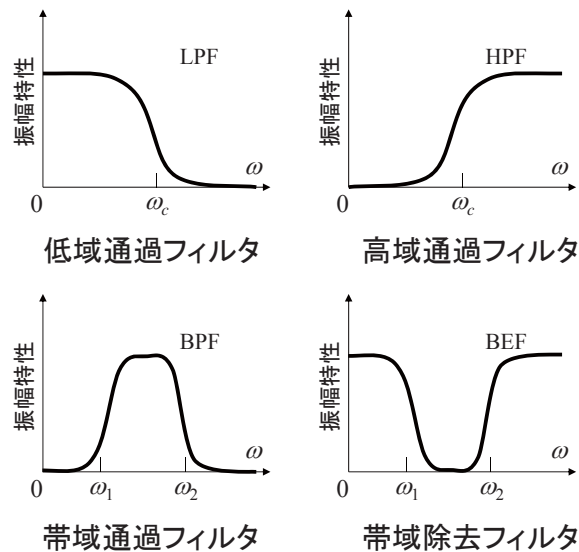
したがって

$$H(\omega) = \int_{-\infty}^{\infty} h(t) \cos \omega t \, dt = H(-\omega)$$

13

15

フィルタの種類



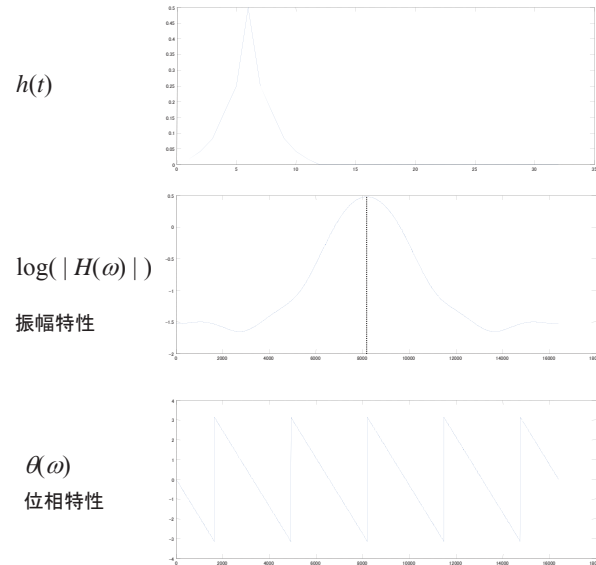
14

例題

任意の周波数の正弦波入力 $x(t) = A \cos(2\pi a t)$ に
対して $y(t) = A \cos(2\pi a t - \phi)$ を出力するシステム
の周波数特性を求めよ

16

周波数フィルター



Matlab code (参考)

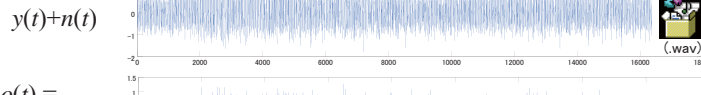
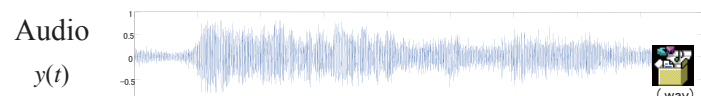
```
filter = [0.2 0.5 1 2 3 6 3 2 1 0.5 0.2] / 12;
delta = zeros(16384, 1);
delta(1) = 1;
ir = conv(delta, filter);
plot(ir(1:32));
```

```
tf = fft(ir);
plot(log(abs(tf)));
```

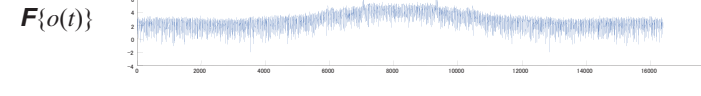
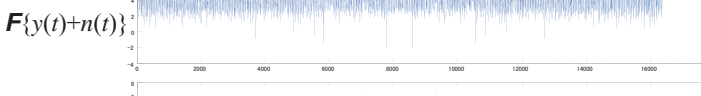
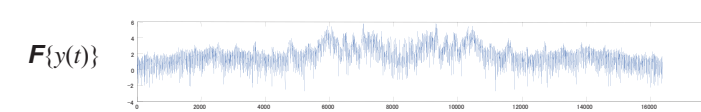
```
ptf = imag(log(tf));
plot(ptf);
```

17

Audio



$$o(t) = \{y(t)+n(t)\} * h(t)$$



```
load handel
yy = y(1:16384);
plot(yy);
wavewrite(yy, 'halle.wav');
```

```
yn = yy + n*0.4;
plot(yn);
wavewrite(yn, 'hallen.wav');
```

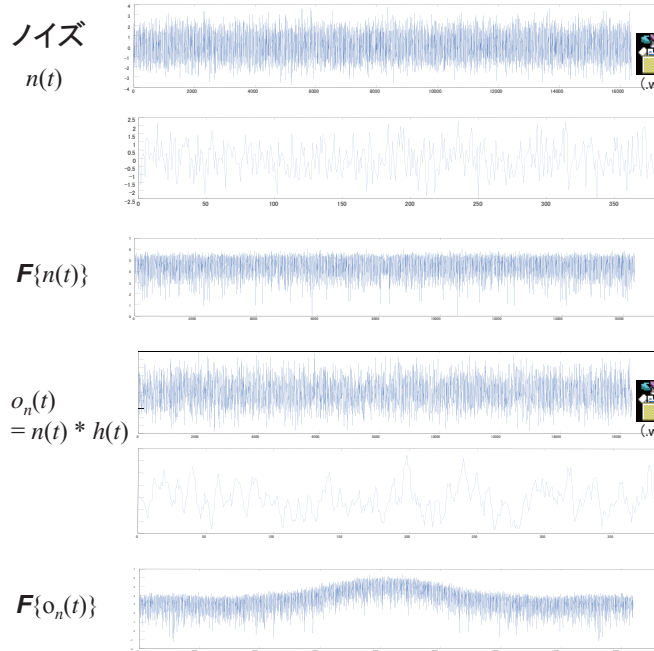
```
yc = conv(yn,filter);
plot(yc);
wavewrite(yc, 'hallel.wav');
```

```
fty = fit(yy);
plot(fitshift(log(abs(fty))));
```

```
fty_n = fft(yn);
plot(log(abs(fty_n)));
```

```
fty_c = fft(yc);
plot(log(abs(fty_c)));
```

19



```
n = randn(16384,1);
plot(n);
plot(n(1:400));
```

```
fn = fft(n);
plot(log(abs(fn)));
```

```
nc = conv(n,filter);
wavewrite(nc, 'noisec.wav');
plot(nc);
plot(nc(1:400));
```

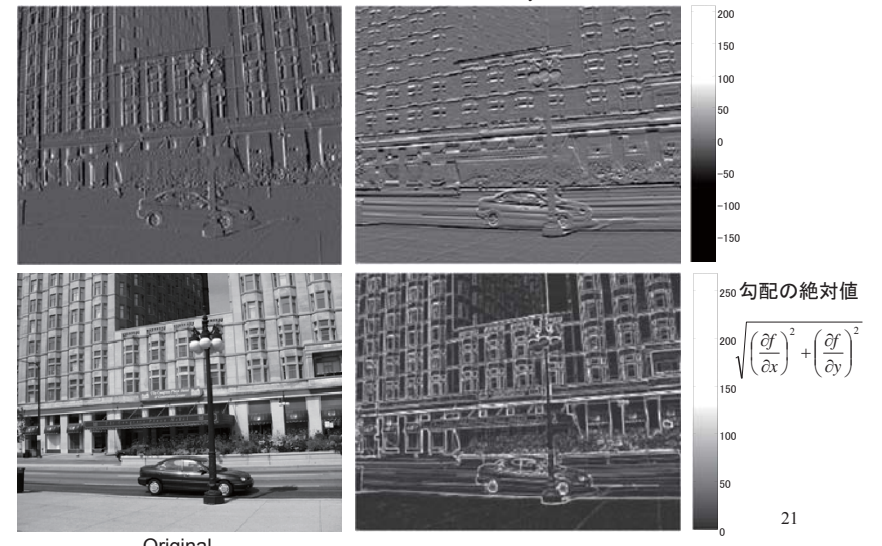
```
fnc = fft(nc);
plot(log(abs(fnc)));
```

18

画像のエッジ抽出

$$\frac{\partial f(x, y)}{\partial x}$$

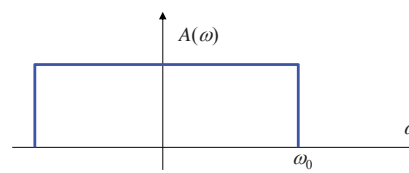
$$\frac{\partial f(x, y)}{\partial y}$$



$$250 \sqrt{\left(\frac{\partial f}{\partial x}\right)^2 + \left(\frac{\partial f}{\partial y}\right)^2}$$

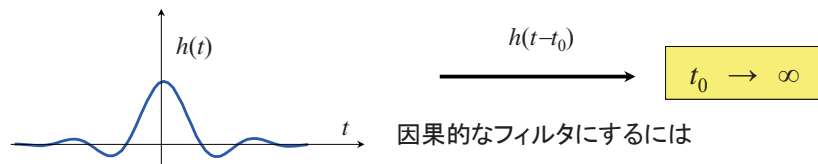
21

理想低域通過フィルタ



$$A(\omega) = |H(\omega)| = \begin{cases} 1 & |\omega| < \omega_0 \\ 0 & \text{otherwise} \end{cases}$$

$$\mathcal{F}^{-1}\{A(\omega)\} = \frac{\sin(\omega_0 t)}{\pi t}$$

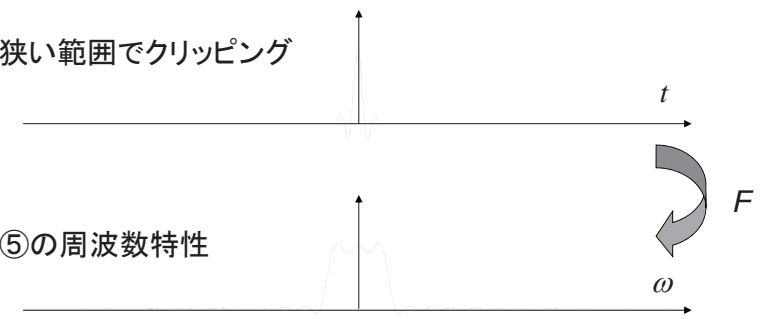


$$h(t-t_0) \quad \xrightarrow{} \quad t_0 \rightarrow \infty$$

因果的なフィルタにするには

$h(t)$ を有限の領域でクリッピングする必要がある → 理想低域通過フィルタは得られない

⑤: 狹い範囲でクリッピング



MATLABの場合 (FFT使用)

```

xft([1:1024]) = 0;
xft([1:48]) = 1;
xft([(1024-47):1024]) = 1;
plot( fftshift(xft));
axis([1 1024 0 2]);
psf = ifft(xf);
plot( fftshift(real(psf)));
axis([1 1024 -0.05 0.1]);
cpsf([1:1024])=0;
cpsf([1:100])=real(psf([1:100]));
cpsf([(1024-99):1024])=real(psf([(1024-99):1024]));
plot( fftshift(cpsf));
axis([1 1024 -0.05 0.1]);
frq = fft(cpsf);
plot( fftshift( real(frq)));
axis([1 1024 -1 2]);

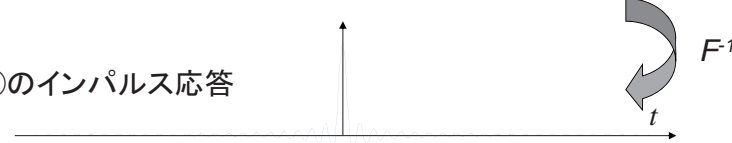
```

24

①: 理想低域通過フィルタ



②: ①のインパルス応答

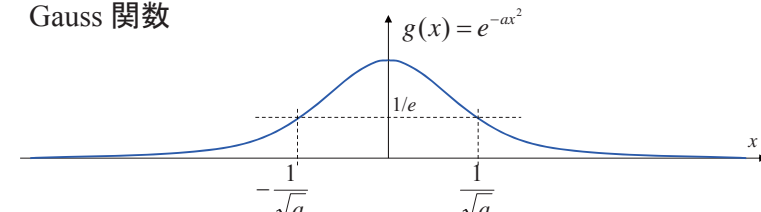


③: ②を有限範囲でクリッピング



④: ③による周波数特性

Gauss 関数



$$\text{Gauss 積分} \quad I = \int_{-\infty}^{\infty} e^{-ax^2} dx = \sqrt{\frac{\pi}{a}}$$

正規化されたGauss 関数(積分値=1) $g_n(x) = \sqrt{\frac{a}{\pi}} \cdot e^{-ax^2}$

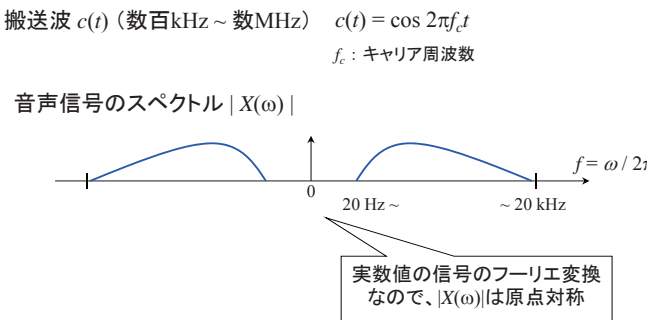
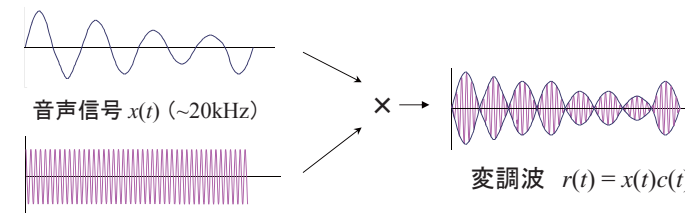
$a \rightarrow \infty$ とすることで、Dirac デルタ関数となる。 $\delta(x) = \lim_{a \rightarrow \infty} \left(\sqrt{\frac{a}{\pi}} \cdot e^{-ax^2} \right)$

$g(x) = e^{-ax^2}$ で $a \rightarrow 0$ とすると、 $g(x) = 1$ となる。

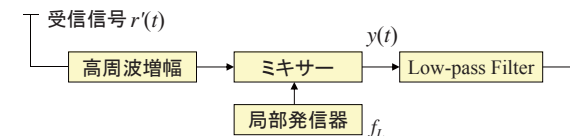
25

補足

AMラジオ (Amplitude Modulation, 振幅変調)



復調(ヘテロダイン方式の原理)



$$Q(\omega) = \pi \{\delta(\omega - 2\pi f_L) + \delta(\omega + 2\pi f_L)\}$$

ミキシング後の出力

$$y(t) = r'(t) q(t)$$

$$Y(\omega) = \mathcal{F}\{r'(t)q(t)\} = \frac{1}{2\pi} R'(\omega) * Q(\omega) = \frac{1}{2} \{R'(\omega - 2\pi f_L) + R'(\omega + 2\pi f_L)\}$$

28

フーリエ領域で見ると

音声信号 $X(\omega)$

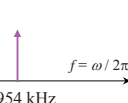
$$\text{搬送波 } C(\omega) = \pi \{\delta(\omega - 2\pi f_c) + \delta(\omega + 2\pi f_c)\}$$

$$\text{変調波 } \mathcal{F}\{x(t)c(t)\} = \frac{1}{2\pi} X(\omega) * C(\omega) = \frac{1}{2} \{X(\omega - 2\pi f_c) + X(\omega + 2\pi f_c)\}$$

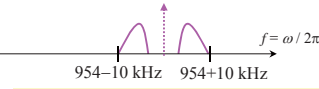
音声信号 $X(\omega)$



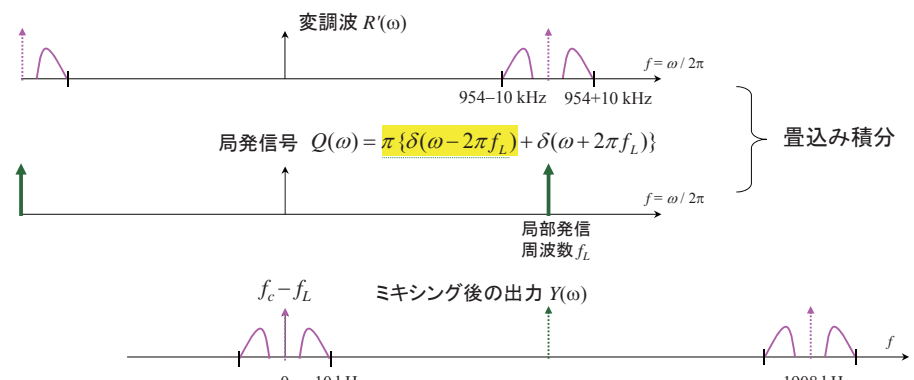
搬送波



変調波 $X(\omega) * C(\omega)$...たたみ込み積分



復調(ヘテロダイン方式の原理)



$f_c - f_L = 0$ ならば 10kHz以上を除去する低域通過フィルタ(LPF)
により原信号を得ることができる
(ホモダイン検波)

$f_c - f_L = f_{IF}$ f_{IF} : 中間周波数(スーパーへテロダイン検波) 29